

### 3.2.2. Форма представления кривых Эрмита

Данная математическая модель была представлена в середине XIX века французским математиком Шарлем Эрмитом (*Charlie Hermite*, 1822-1901). В 1963 г. американский инженер Фергюсон (*J.S.Ferguson*) впервые использовал эту форму, как базовую модель для САПР самолетостроения (фирмы «Боинг»).

**Основной задачей** геометрического моделирования будет являться восстановление кривых и поверхностей с максимально возможной точностью по исходным аппроксимированным описаниям. В этом смысле задача построения сегмента кривой Эрмита формируется следующим образом.

Пусть  $P_1$  и  $P_4$  - концевые точки сегмента кривой, а  $R_1$  и  $R_4$  - касательные в них.

Необходимо найти коэффициент системы уравнений (3.1), исходя из следующих условий:

$$\begin{aligned}r(0) &= P_1 = (P_{1x}, P_{1y}, P_{1z}); \\r(1) &= P_4 = (P_{4x}, P_{4y}, P_{4z}); \\r'(0) &= R_1 = (R_{1x}, R_{1y}, R_{1z}); \\r'(1) &= R_4 = (R_{4x}, R_{4y}, R_{4z}).\end{aligned}$$

Рассмотрим решение задачи на примере одного уравнения. Для компактности представим уравнения в векторном виде:

$$x(t) = a_x t^3 + b_x t^2 + c_x t + d_x = \begin{pmatrix} t^3 & t^2 & t & 1 \end{pmatrix} \cdot \begin{pmatrix} a_x \\ b_x \\ c_x \\ d_x \end{pmatrix} = T \cdot C_x, \quad (3.2)$$

где  $T$  - вектор-строка степеней параметра  $t$ ,  $C_x$  - вектор-столбец коэффициентов для первого уравнения системы (3.1).

Представим исходные данные в векторной форме:

$$\begin{aligned} x(t)|_{t=0} &= x(0); \quad x(t)|_{t=1} = x(1); \\ P_{Ix} &= x(0) = \begin{pmatrix} 0 & 0 & 0 & 1 \end{pmatrix} \cdot C_x \\ P_{4x} &= x(1) = \begin{pmatrix} 1 & 1 & 1 & 1 \end{pmatrix} \cdot C_x \end{aligned} \quad (3.3)$$

Для получения значений производных продифференцируем выражение  $x(t)$ :

$$\begin{aligned} x'(1) &= \begin{pmatrix} 3t^2 & 2t & 1 & 0 \end{pmatrix} \cdot C_x \\ R_{Ix} &= x'(0) = \begin{pmatrix} 0 & 0 & 1 & 0 \end{pmatrix} \cdot C_x \\ R_{4x} &= x'(1) = \begin{pmatrix} 3 & 2 & 1 & 0 \end{pmatrix} \cdot C_x \end{aligned} \quad (3.4)$$

Объединим отдельные векторные выражения формул (3.3) и (3.4) в единую систему уравнений, которые описываются одним матричным уравнением:

$$G_{Hx} = \begin{pmatrix} P_{Ix} \\ P_{4x} \\ R_{Ix} \\ R_{4x} \end{pmatrix} = \begin{pmatrix} 0001 \\ 1111 \\ 0010 \\ 3210 \end{pmatrix} \cdot C_x = N_x \cdot C_x, \quad (3.5)$$

где  $G_{Hx}$  - геометрическая матрица Эрмита, содержащая исходные данные для описания сегмента кривой линии.

Решая выражение (3.5) относительно вектора  $C_x$ , получим следующий результат:

$$C_x = N_H^{-1} \cdot G_{Hx} = \begin{pmatrix} 2-211 \\ -33-2-1 \\ 0010 \\ 1000 \end{pmatrix} \cdot G_{Hx} = M_H \cdot G_{Hx}, \quad (3.6)$$

где  $M_H = N_H^{-1}$  - матрица сопряжения Эрмита, а  $G_H$  - вектор Эрмита.

Подставим значение из (3.6) в (3.2), получим:

$$x(t) = T \cdot C_x = T \cdot M_H \cdot G_{Hx}.$$

Аналогичным образом получим соответствующие уравнения для координат  $y$  и  $z$ :

$$\begin{aligned} y(t) &= T \cdot M_H \cdot G_{Hy} \\ z(t) &= T \cdot M_H \cdot G_{Hz} \end{aligned}$$

Последние три матричные уравнения можно записать в виде одного уравнения следующего вида:

$$\bar{r}(t) = T \cdot M_H \cdot G_H, \quad (3.7)$$

где геометрическая матрица Эрмита имеет следующий вид:

$$G_H = \begin{pmatrix} P_{1x} & P_{1y} & P_{1z} \\ P_{4x} & P_{4y} & P_{4z} \\ R_{1x} & R_{1y} & R_{1z} \\ R_{4x} & R_{4y} & R_{4z} \end{pmatrix}$$

и определяет исходные данные для описания сегмента кривой.

Таким образом, пара точек и касательные в них однозначно определяют сегменты кубической кривой, т.е. на участке данного сегмента нет необходимости сохранять координаты каждой точки. Имея исходные данные, содержащиеся в  $G_H$  и изменяя значения параметра  $t$  от нуля до единицы можно восстановить с заданной точностью точки сегмента.

Произведение  $T \cdot M_H$  представляет собой следующий вектор:

$$T \cdot M_H = ((2t^3 - 3t^2 + 1) (-2t^3 + 3t^2) (t^3 - 2t^2 + 1) (t^3 - t^2)).$$

Четыре компонента данного вектора определяют четыре функции над параметром  $t$ , которые называются *функциями сопряжения*, т.к. первые из них связывают (сопрягают) координаты точек  $P_1$  и  $P_2$ , а вторые две - векторы  $R_1$  и  $R_4$ .

При построении гладких поверхностей необходимо следить за поведением кривой на каждом из сегментов. Ее поведение будет зависеть от величин касательных  $R_1$  и  $R_4$ . Рассмотрим касательные  $R_{1x}$  и  $R_{4x}$ :

$$\bar{R}_1 = k_1 \bar{e}_1,$$

$$\bar{R}_4 = k_4 \bar{e}_4$$

где  $e_1$  и  $e_4$  - единичные векторы касательных  $R_1$  и  $R_4$  соответственно.

В том случае, если одновременно и пропорционально увеличивать значения длин  $k_1$  и  $k_4$ , кривая становится более изогнутой.

При значительном возрастании величин  $k_1$  и  $k_4$  могут возникать изломы и петли на сегменте кривой. Если изменение значений  $k_1$  и  $k_4$  происходит неравномерно, то деформация сегмента кривой происходит в одном направлении. Для того чтобы конструируемая поверхность не содержала изломов и петель на значения коэффициентов  $k_1$  и  $k_4$  накладываются следующие ограничения: их величина не должна более чем в три раза превышать размер хорды, которая определяется как  $(\bar{r}(0) - \bar{r}(1))$ .

При сопряжении сегментов кривой в единую кривую линию на величины касательных векторов и коэффициентов  $k_1$  и  $k_4$  накладываются дополнительные ограничения:

- направление касательных  $\bar{R}_i(1)$  в следующем сегменте должно совпадать с направлением  $\bar{R}_{i+1}(0)$  в текущем сегменте;
- длины этих касательных  $\bar{R}_i(1)$  и  $\bar{R}_{i+1}(0)$  могут не совпадать;

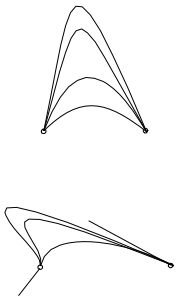


Рис. 3.3

– в отдельных случаях в точках сопряжения сегментов накладываются дополнительные требования на заданную кривизну кривой. Под кривизной понимается величина:

$$\sigma = \frac{1}{\rho},$$

обратная радиусу кривой  $\rho$ .

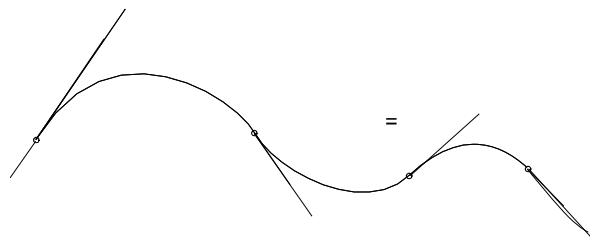


Рис. 3.4.

**Достоинство** формы Эрмита:

- позволяет с математической точностью определить гладкость сопряжения сегментов;

**Недостатками** данной формы является то, что она

- не позволяет задавать сегмент кривой в интерактивном режиме (например, при помощи курсора «мышь»);
- не позволяет определять охватывающий четырехугольник (см. достоинства формы Безье).

### 3.2.7. Модель поверхности в форме Эрмита

Для моделирования сегмента трехмерной поверхности в данной форме используются координаты концевых (угловых) точек сегмента и касательные векторы в них. На основании этих исходных данных определяется коэффициент бикубического многочлена -  $a_{ij}$ . Описание кривой линии в трехмерном пространстве, в форме Эрмита определяется:

$$x(u) = U \cdot M \cdot G_{Hx}.$$

Перемещая подобную кривую во времени получим:

$$x(u, t) = U \cdot M_H \cdot G_{Hx}(t) = U \cdot M_H \cdot \begin{pmatrix} P_{1x}(t) \\ P_{4x}(t) \\ R_{1x}(t) \\ R_{4x}(t) \end{pmatrix} \quad (3.14)$$

В данном выражении функции  $P_1(t)$  и  $P_4(t)$  описывают перемещение во времени концевых точек, а  $R_1(t)$  и  $R_4(t)$  - перемещение касательных векторов.

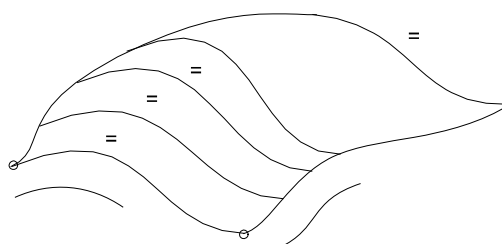


Рис. 3.11

Если интерполируемые линии являются прямыми, то полученная поверхность называется линейчатой. Если, кроме того, кривые  $P_{1l}(t)$  и  $P_{4l}(t)$  находятся в одной плоскости, то моделируемый сегмент будет плоским.

Введем следующие обозначения для функции  $P_{1l}(t)$ ,  $P_{4l}(t)$ ,  $R_{1l}(t)$ ,  $R_{4l}(t)$ :

$$\begin{aligned} P_{1x}(t) &= T \cdot M_H \cdot \begin{pmatrix} q_{11} \\ q_{12} \\ q_{13} \\ q_{14} \end{pmatrix}; & P_{4x}(t) &= T \cdot M_H \cdot \begin{pmatrix} q_{21} \\ q_{22} \\ q_{23} \\ q_{24} \end{pmatrix}; \\ R_{1x}(t) &= T \cdot M_H \cdot \begin{pmatrix} q_{31} \\ q_{32} \\ q_{33} \\ q_{34} \end{pmatrix}; & R_{4x}(t) &= T \cdot M_H \cdot \begin{pmatrix} q_{41} \\ q_{42} \\ q_{43} \\ q_{44} \end{pmatrix}; \end{aligned}$$

Представим четыре многочлена в виде одного вектора:

$$G_{Hx}^T(t) = (P_{1l}(t) \ P_{4l}(t) \ R_{1l}(t) \ R_{4l}(t)) = T \cdot M_H \cdot \tilde{Q}_x \quad (3.15)$$

где  $\tilde{Q}_x = \|q_{ij}\|_{4 \times 4}$ .

Используя тождество матричной алгебры  $((ABC)^T = C^T B^T A^T)$  применительно к выражению (3.15), получим следующие значения:

$$G_{Hx} = \begin{pmatrix} P_{1x}(t) \\ P_{4x}(t) \\ R_{1x}(t) \\ R_{4x}(t) \end{pmatrix} = \tilde{Q}_x^T \cdot M_H^T \cdot T^T = Q_x \cdot M_H^T \cdot T^T \quad (3.18)$$

где  $Q_x = \tilde{Q}_x^T = \|q_{ji}\|_{4 \times 4}$ .

Подставив (3.18) в (3.14), получим:

$$x(u, t) = U \cdot M_H \cdot Q_x \cdot M_H^T \cdot T^T \quad (3.19)$$

Аналогичным образом получается выражение для зависимостей  $y(u, t)$  и  $z(u, t)$ . Таким образом, задача конструирования поверхности в форме Эрмита заключается в определении элементов матриц  $\tilde{Q}_x$ ,  $\tilde{Q}_y$ ,  $\tilde{Q}_z$ .

Рассмотрим структуру матрицы  $Q_x$ :

$$Q_x = \begin{pmatrix} x_{00} & x_{01} & \left(\frac{\partial x}{\partial t}\right)_{00} & \left(\frac{\partial x}{\partial t}\right)_{01} \\ x_{10} & x_{11} & \left(\frac{\partial x}{\partial t}\right)_{10} & \left(\frac{\partial x}{\partial t}\right)_{11} \\ \left(\frac{\partial x}{\partial u}\right)_{00} & \left(\frac{\partial x}{\partial u}\right)_{01} & \left(\frac{\partial x^2}{\partial u \partial t}\right)_{00} & \left(\frac{\partial x^2}{\partial u \partial t}\right)_{01} \\ \left(\frac{\partial x}{\partial u}\right)_{10} & \left(\frac{\partial x}{\partial u}\right)_{11} & \left(\frac{\partial x^2}{\partial u \partial t}\right)_{10} & \left(\frac{\partial x^2}{\partial u \partial t}\right)_{11} \end{pmatrix} = \begin{pmatrix} Q_{00} & Q_{01} \\ Q_{10} & Q_{11} \end{pmatrix}$$

Элементы подматрицы  $Q_{00}$  представляют собой координаты четырех углов сегмента поверхности. Элементы подматриц  $Q_{01}$  и  $Q_{10}$  определяют тангенсы углов наклона касательных векторов в узловых точках сегмента по параметрам  $u$  и  $t$  соответственно. Элементы подматрицы  $Q_{11}$  определяют частные производные по обоим параметрам в узловых точках сегмента (кривизна поверхности). Чем больше значение кривизны, тем сильнее изгиб в узловой точке. Вид сегмента в форме Эрмита представлен на рис.3.12.

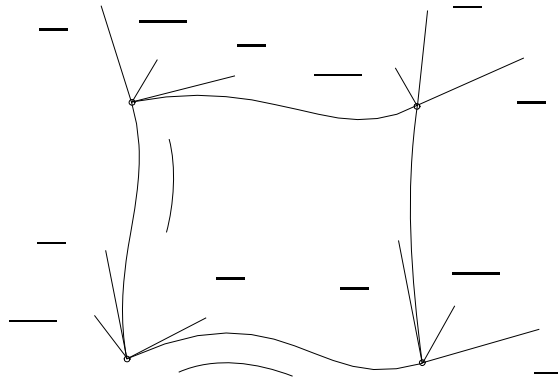


Рис. 3.12

При соединении отдельных сегментов, представленных в форме Эрмита, в единую поверхность, возникает задача сопряжения сегментов таким образом, чтобы при переходе от одного сегмента к другому поверхность сохранила гладкость. Для этого необходимо соблюдать условия  $C^{(1)}$  - непрерывности:

- кривые граничащих граней сегментов, должны совпадать;
- касательные векторы, пересекающие ребро должны иметь в точке соединения двух сегментов одно и то же направление.

Рассмотрим геометрическую матрицу, описывающую исходную матрицу, необходимую для формы Эрмита:

$$Q_S = \begin{pmatrix} q_{11} & q_{12} & q_{13} & q_{14} \\ q_{21} & q_{22} & q_{23} & q_{24} \\ q_{31} & q_{32} & q_{33} & q_{34} \\ q_{41} & q_{42} & q_{43} & q_{44} \end{pmatrix}.$$

В данной матрице строка  $\{q_{1i}\}$  - соответствует кривой линии, при значении параметра  $u = 0$ . Строка  $\{q_{2i}\}$  - описывает кривую при  $u = 1$ , Аналогичным образом строка  $\{q_{3i}\}$  описывает кривую при  $u = 0$ , а  $\{q_{4i}\}$  - при  $u = 1$ .

Таким же образом определяется поведение кривой при фиксированном параметре  $t$ : столбцы  $\{q_{i1}\}$  и  $\{q_{i3}\}$  соответствуют кривой при  $t = 0$ , а  $\{q_{i2}\}$  и  $\{q_{i4}\}$  – при  $t = 1$ .

При соединении сегментов в поверхность возможно два случая сопряжения:

- 1) сопряжение грани с фиксированным параметром  $u$ ;
- 2) сопряжение грани с фиксированным параметром  $t$ .

Рассмотрим первый случай представленный на рис.3.13.

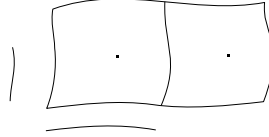


Рис. 3.13

Исходя из смысла элементов матрицы  $Q$ , для двух приведенных сегментов  $A$  и  $B$  должны присутствовать следующие эквивалентные соотношения между элементами матриц  $Q_A$  и  $Q_B$ :

$$\begin{cases} q_{2i}^A = q_{li}^B, i = 1 \div 4, \\ q_{4i}^A = q_{3i}^B, i = 1 \div 4. \end{cases}$$

Рассмотрим второй случай, изображенный на рис.3.14. В этом случае аналогичное соотношение будет выглядеть следующим образом:

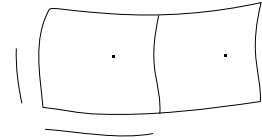


Рис. 3.14

$$\begin{cases} q_{i2}^A = q_{il}^B, i = 1 \div 4, \\ q_{i4}^A = q_{i3}^B, i = 1 \div 4. \end{cases}$$

Достоинства и недостатки аналогичны достоинствам и недостаткам при описании кривой в форме Эрмита.